

*Письма в ЖЭТФ, том 20, вып. 7, стр. 445 – 448*      5 октября 1974 г.

## О ВОЗМОЖНОСТИ ГЕНЕРАЦИИ МОЩНОГО ГИПЕРЗВУКА С ПОМОЩЬЮ ЛАЗЕРНОГО ИЗЛУЧЕНИЯ

*О.В.Руденко*

Получено нелинейное уравнение для описания процессов генерации мощного гиперзвука при смешении световых волн и ВРМБ при низких температурах, когда необходимо учитывать акустическую нелинейность. Исследован режим насыщения; определены предельные интенсивности гиперзвука. Введены безразмерное число  $A$  и нелинейная длина  $z_{\text{нел}}$ , определяющие динамику процесса.

1. В работе предложен корректный способ расчета интенсивного гиперзвукового поля.

До сих пор при описании лазерной генерации гиперзвука пользовались линейным уравнением для приращения плотности  $p$  [1–3]; это связано с большой величиной коэффициента поглощения  $\alpha$ . При температурах  $< 20\text{K}$   $\alpha$  падает до очень малой величины  $\sim 10^{-3} \text{ см}^{-1}$  и нужно учитывать нелинейные по  $p$  члены, на что неоднократно указывалось [2–4].

2. Из полной системы уравнений гидродинамики (теории упругости) методом медленно меняющегося профиля [5] удается получить уравнение, ранее в теории волн не встречавшееся:

$$\frac{\partial p}{\partial z} - \frac{\epsilon}{c_0^3 \rho_0} p \frac{\partial p}{\partial r} - \frac{b}{2c_0^3 \rho_0} \frac{\partial^2 p}{\partial r^2} = \frac{Y}{16\pi} E_1 E_2 \frac{\Omega}{c_0} \sin \Omega r. \quad (1)$$

Здесь  $z$  – продольная координата,  $r = t - z/c_0$ ,  $c_0$  – скорость звука,  $\rho_0$  – плотность среды,  $b$  – эффективная вязкость,  $Y$  – параметр оптико-акустической связи,  $\epsilon$  – параметр акустической нелинейности.

Для простоты мы ограничились случаем, когда взаимодействуют два встречных лазерных луча с близкими частотами  $\omega_1$ ,  $\omega_2$  и амплитудами  $E_1$ ,  $E_2$ , причем оптическая дисперсия среды допускает синхронное возбуждение звука разностной частоты  $\Omega = \omega_1 - \omega_2 = 2n\omega_{1,2}c_0/c$ .

Для анализа (1) удобно перейти к безразмерным переменным

$$\theta = \Omega r, \quad x = az = \frac{b \Omega^2}{2c_0^3 \rho_0} z, \quad \Pi = \frac{2\epsilon p}{b \Omega}. \quad (2)$$

Смысл координаты  $x$  – расстояние в длинах затухания,  $\Pi$  – текущее число Рейнольдса. Уравнение (1) примет вид

$$\frac{\partial \Pi}{\partial x} - \Pi \frac{\partial \Pi}{\partial \theta} - \frac{\partial^2 \Pi}{\partial \theta^2} = A \sin \theta. \quad (3)$$

Число

$$A = \frac{\epsilon Y}{16\pi} \frac{E_1 E_2}{c_0^2 \rho_0} \left( \frac{\Omega}{c_0 a} \right)^2 = \frac{2\epsilon Y \sqrt{I_1 I_2} n (2\pi)^2}{c_0^2 \rho_0 c a^2 (\lambda)} \quad (4)$$

(где  $I_{1,2}$  – интенсивности,  $\lambda$  – длина световых волн) служит удобным критерием проявления нелинейных звуковых эффектов. При  $A \ll 1$  возбуждается малоамплитудный гиперзвук ( $\Pi \ll 1$ ), при  $A \gg 1$  нелинейность может стать существенной.

3. При малых  $A$  ищем решение (3) методом последовательных приближений, что дает выражения для амплитуд 1,2 и более высоких гармоник:

$$\Pi^{(1)} = A(1 - e^{-x}) \sin \theta, \quad \Pi^{(2)} = \frac{A^2}{8} (1 - e^{-x})^3 \left( 1 + \frac{1}{3} e^{-x} \right) \sin 2\theta. \quad (5)$$

Отметим, что для малых  $x$  амплитуда второй гармоники растет по кубическому закону  $\sim A^2 x^3/6$ . Для  $x \rightarrow \infty$  амплитуды стремятся к постоянным значениям, что указывает на наличие стационарного режима в системе. Решения (5) позволяют оценить границы линейного прибли-

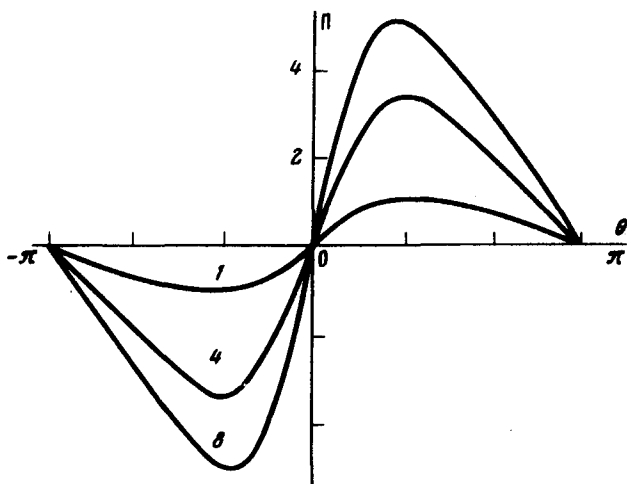
жения. При  $(A/8) \ll 1$  оно удовлетворительно описывает процесс для любых  $x$ . При нарушении этого условия нелинейных эффектов можно не учитывать вплоть до  $x_{\text{нел}} = (6/A)^{1/2}$  или

$$z_{\text{нел}} = \frac{\lambda}{2\pi} (3c_0^2 \rho_0 c / n \epsilon Y \sqrt{I_1 I_2})^{1/2}. \quad (6)$$

"Нелинейная длина"  $z_{\text{нел}}$  служит характерным масштабом выхода на насыщение.

4. В области сильного проявления нелинейных эффектов следует искать точное решение (3). Его можно найти, однако решение и анализ громоздки и здесь не приводятся. Выпишем лишь выражение для стационарной волны:

$$\Pi = 2 \frac{\partial}{\partial \theta} \ln \text{se}_o \left( \frac{\theta}{2}, \frac{A}{8} \right), \quad -\pi \leq \theta \leq \pi. \quad (7)$$



Стационарный профиль волны при различных значениях числа  $A$

Профили одного периода  $\Pi(\theta)$  приведены на рисунке для значений  $A = 1, 4, 8$ . Легко видеть, что установившаяся форма волны не пилообразна; перенесение результатов свободного распространения звука на случай возбуждения светом не вполне корректно, поскольку здесь обмен энергией между гармониками происходит иначе. Предельная интенсивность гиперзвука определяется собственным значением  $\gamma(A)$ , отвечающим функции Матье  $\text{se}_o(\theta/2, A/8)$  и равна

$$I_{\text{ЗВ}} = \frac{4|\gamma| c_0^5 \rho_0 \alpha^2}{\epsilon^2 \Omega^2}. \quad (8)$$

В случае малых  $A$   $4|\gamma| \approx A^2/2$ , и (8), (4) приводят к очевидному соотношению  $I_{\text{ЗВ}} = (Y^2 \omega^2 / 2c^4 c_0 \rho_0 \alpha^2) I_1 I_2$ . При больших  $A$  из (8)

следует более сложная зависимость  $I_{ЗВ}$  от интенсивностей световых волн ( $A \rightarrow \infty$ ,  $I_{ЗВ} \sim \sqrt{I_1 I_2}$ ).

5. Обсудим условия экспериментального наблюдения нелинейного режима (7). Очевидно, нужно потребовать  $z_{\text{нел}} \ll a^{-1}$ ,  $A \gg 1$  и, кроме того,  $z_{\text{нел}} \lesssim c_0 \tau_{\lambda}$ , где  $\tau_{\lambda}$  — длительность возбуждающих лазерных импульсов. Длина  $z_{\text{нел}}$  (6) слабо зависит от температуры и определяется в основном интенсивностью лазерного излучения. При фокусировке гигантского импульса можно получить  $I \sim 10^6$  Мет/см<sup>2</sup> и уменьшить  $z_{\text{нел}}$  до величины  $\sim 10^{-4}$  см. Таким образом требование  $z_{\text{нел}} \ll a^{-1}$  может быть выполнено даже при высоких температурах. С другой стороны, длительность импульса лазера с модулированной добротностью достаточна и для выполнения условия стационарности  $z_{\text{нел}} \lesssim c_0 \tau_{\lambda}$ . Таким образом, уже при существующем уровне физического эксперимента можно наблюдать интенсивный гиперзвук, насыщающийся на звуковой нелинейности.

6. В уравнении (1) можно считать  $E_1$ ,  $E_2$  не заданными полями падающего излучения и стоксовой волны. Тогда, дополнив (1) уравнениями  $\partial E_{1,2} / \partial z = \sigma_{1,2} \tilde{r} E_{2,1}$ , где  $\tilde{r}$  — амплитуда первой гармоники  $r$ , получим систему для описания ВРМБ в случае рассеяния назад.

Автор признателен С.А.Ахманову, Р.В.Хохлову и А.С.Чиркину за полезные обсуждения работы.

Московский  
государственный университет  
им. М.В.Ломоносова

Поступила в редакцию  
16 июля 1974 г.

### Литература

- [1] И.Л.Фабелинский, Изв. АН СССР, сер., физ. 35, 5, 874, 1974.
- [2] В.С.Старунов, И.Л.Фабелинский, УФН, 98, 3, 441, 1969.
- [3] Н.Н.Лавринович, ЖЭТФ, 60, 1, 69, 1971.
- [4] А.Л.Полякова, Письма в ЖЭТФ, 7, 76, 1968.
- [5] О.В.Руденко, С.И.Солуян, Р.В.Хохлов, Акуст. ж. 20, 3, 449, 1974.